

(討4) 連鉄鋳型内における溶融フラックスへの固体アルミナの溶解機構

川崎製鉄 技術研究所 ○中戸 参理博江見俊彦 江島彬夫

1. 緒 言

薄鋼板用スラブを連続鋳造する際、スラブの表面直下にアルミナクラスターが捕捉され、特に美麗であることを要求される製品の表面性状をそこなうことがある。対策には溶鋼の清浄度の向上、注入流の酸化防止、鋳型内溶鋼の流動状況の改良などが成果を収めているが、このほかに、鋳型内に添加されるフラックスもスラブ表面のノロカミや上記のアルミナクラスターと直接、間接に関係していることは従来から指摘されている。潤滑性能が良く、かつアルミナ溶解速度が従来のフラックスよりも大きいものを得ることはノロカミを防止し、溶鋼中のアルミナを系外に除くうえで重要である。本報では、固体アルミナの溶融フラックス中への溶解速度を求め、溶解機構と薄鋼板用連鋳フラックス組成を検討した。

2. 溶融フラックスの表面張力

2 - 1. 実験方法

表面張力は Ar 雰囲気下、静滴法により 1500°C で測定した。あらかじめ溶融、合成したフラツクス約 1 g を黒鉛板にのせ、炉芯管内中央均熱部に水平に挿入する。試料溶融後 2 ~ 5 min 間隔で液滴の形状を写真撮影し、投影機で 10 倍に拡大して形状を測定した。同一条件で撮影した鋼球を比較標準寸法とした。表面張力は Dorsey¹⁾ が Bashforth, Adams の方法を基礎に誘導した(1)式で計算した。図 1 で液滴の最大半径 r 、点 A と液滴の頂点 B との距離を h とすれば、溶融フラツクスの表面張力 σ_s は、

$$\sigma_s = \rho_s r^2 g (0.05200/f - 0.12268 + 0.0481f) \dots \dots \dots (1)$$

として与えられる。ここで g は重力加速度, ρ_s は溶融フラックスの密度である。表面張力は、形状がほぼ一定となる 15 ~ 30 min の平均値で求めた。

2 - 2. 実験結果

$\text{CaO} - \text{SiO}_2 - \text{Al}_2\text{O}_3 - \text{NaF}$ 4成分系の表面張力に及ぼす CaO/SiO_2 比, Al_2O_3 , NaF の影響

NaF 濃度の影響を図 2 に示す。表面張力

は 300~450 dyne/cm の範囲にあり、
 CaO/SiO_2 比が大きくなるにつれ増加するが、 Al_2O_3 、 NaF が増すと減少する。
 この系の表面張力は現在まで報告されて

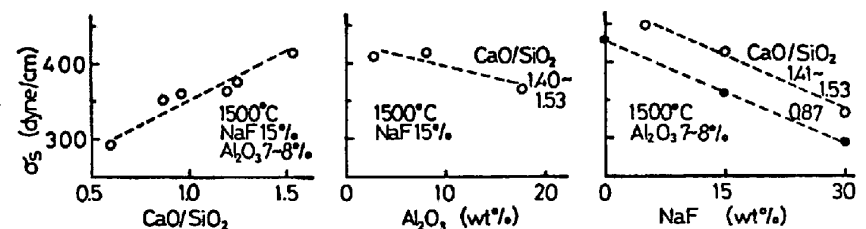


図 2 表面張力に及ぼす CaO/SiO_2 , Al_2O_3 , NaF の影響

験結果では、 SiO_2 または NaF いずれかが増すほど表面張力は減少しており、本実験結果と良く一致している。

3. 溶融フラックスへの固体アルミニウムの溶解速度

3 - 1. 實驗方法

1) 静止円柱法 図3に実験装置の概略を示す。SiC発熱体を用いた炉内で内径32mm、深さ50mmの黒鉛ルツボに50gのフラックスを溶融し、30分間一定温度に保持したのち、予熱した直径10mmの α -Al₂O₃円柱をルツボ上蓋の孔を通して溶融フラックス中に所定時間浸漬した。実験後の円柱はルツボより取り出し、濃塩酸溶液で表層部に付着したフラックスを溶解し、実験前後の重量変

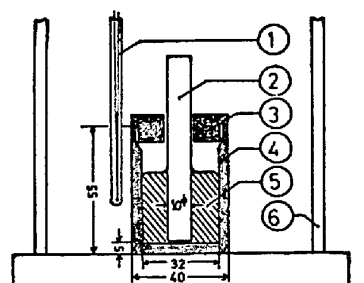


圖 3 實驗裝置(熱上膠技術)

化、直径変化量を測定した。実験温度は1300~1500℃、フラックスは白金ルツボであらかじめ溶融、合成したが、 SiO_2 源としては化学用石英砂を、ほかは試薬特級および1級を用いた。

ii) 回転ディスク法 上記と同じ寸法の黒鉛ルツボに同量のフラックスを添加し、タンマン炉で溶融したのち黒鉛棒で支持した直径 20 mm, 厚さ 1 mm の単結晶サファイヤ製ディスクを予熱後浸漬し、54~168 RPM で 5 min 回転後引きあげた。実験後のディスクは i) と同様に濃塩酸溶液中で付着フラックスを溶解し、重量減少を測定した。

3 - 2. 実験結果

i) 静止円柱法 半径減少量の実測平均値 ΔR_m の経時変化を図 4 に示す。ほぼ、直線関係が認められるので、この勾配を見かけ上のアルミナ溶解速度定数 K と定義し、 K 値でアルミナの溶融フラックスへの溶解速度を評価した。

温度が高くなると、図5のようにアルミナの溶解速度は大きくなる。アレニウス型を仮定して見かけの活性化エネルギーを求めると、 CaO/SiO_2 （重量%比）= 0.87で 36 Kcal/mol, 1.45で 108 Kcal/molとなり塩基度により溶解の律速段階が異なることを示唆する。

また、 CaO/SiO_2 比が 1.1 を越えると、図 6 のように、急激にアルミナの溶解速度が増大する。

フラックス母相中の初期 Al_2O_3 濃度が高くなると、図 7 のように溶解速度は減少するが 2 ~ 17 % 程度なら、その影響はあまり大きくない。

フラックス母相中の初期 NaF , Na_2O 濃度の影響を図 8 に示す。 NaF は明らかに溶解速度を増すが、 Na_2O の効果は大きい。

ii) 回転ディスク法 単結晶サファイアディスクの実験前後の重量変化から求めた界面での mass flux j_i と回転数の関係を図 9 に示す。 CaO/SiO_2 とともに j_i が増加する傾向は、図 6 ほど顕著ではないが明らかに認められ、図 8 に示された NaF の溶解促進効果も再現されている。 j_i と \sqrt{W} の間には、 $\text{CaO}/\text{SiO}_2 < 1.21$ では原点を通る直線関係があるが、 $\text{CaO}/\text{SiO}_2 \geq 1.21$ では直線関係は保たれるが原点を通りなくなり、律速段階が CaO/SiO_2 で変化することを示唆する。

4. 考 察

4 - 1. 溶鋼 - 溶融フラックス界面におけるアルミナ粒の挙動

図10に示すような、半径Rのアルミナ粒が溶鋼より溶融フラック 図6 K値に及ぼす CaO/SiO_2 の影響
ス中に移行する場合を考える。界面が1~2%進むための条件は、全自由エネルギー変化 $\Delta F < 0$ である。

$$\Delta F = (\rho_i \cdot \Delta F_i / M_i) \cdot \pi r^2 S, \sin \alpha - r_{m-i} \cdot 2\pi r e_i - r_{m-s} \cdot 2\pi r s, \cos \alpha < 0 \dots \dots \dots \quad (3)$$

ここで、 ΔF_i はアルミナの溶解自由エネルギー変化、 ρ は密度、 M は分子量、 γ は界面張力であり、添字*i*はアルミナ、*s*は溶融フラックス、*ss*は溶鋼を示す。(3)式を整理すれば

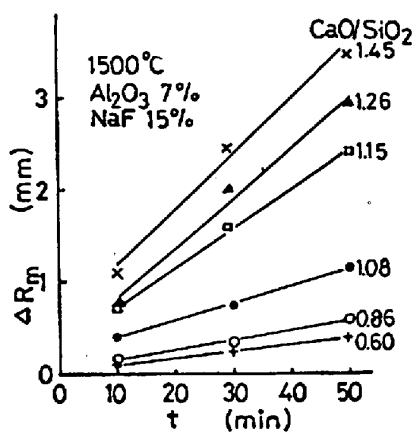


図4 アルミナ静止円柱の溶解速度

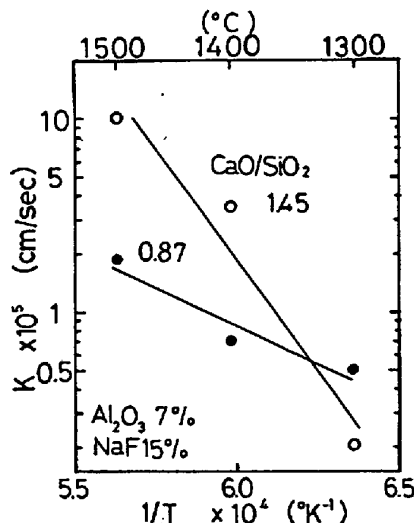


図5 K値の温度依存性

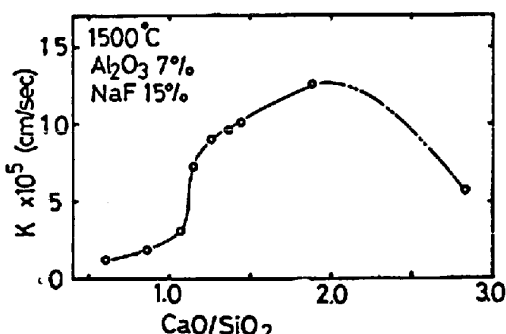


図6 K値に及ぼすCaO/SiO₂の影響

$\Delta F_i < 0$ と考えられるから、(4), (5)式は常に成立する。アルミナ板上の溶鋼の接触角 $\theta_m = 140^\circ$, 表面張力をそれぞれ, $\sigma_m = 1500$, $\sigma_s = 300$, $\sigma_i = 935 \text{ dyne/cm}$ とすれば, $r_{m-i} = 2080 \text{ dyne/cm}$ であり、(6)式もまた、満足していると考えられ、界面に到達したアルミナ粒は、フラックスがアルミナで飽和していない限り、粒の大きさに関係なくフラックス相中に溶解する。

一方、アルミナ粒はフラックス中に完全に移行してから溶解すると考えれば、Povolotskii³⁾ が示したように

$$r_{s-i} < r_{m-i} + r_{m-s} \cos \alpha \quad \dots \dots \dots \quad (7)$$

$$\text{または, } \sigma_s > \sigma_m \cos \theta_m - r_{m-s} \cos \alpha \dots \dots \dots \quad (8)$$

が条件となる。 σ_s , σ_m , θ_m を同様にとれば, $\alpha = 180^\circ$ の時でも $r_{m-s} < 1450 \text{ dyne/cm}$ であり, 通常の溶鋼ならば, (8)式もまた, 満足していると考えて良い。

4-2. アルミナの溶解機構と律速段階

CaO-SiO₂-Al₂O₃ 3成分系への Al₂O₃ の溶解速度は Cooper Jr.,
 ら⁴⁾により液相側の物質移動を律速段階として詳細な解析がなされている。
 荒木ら⁵⁾は SiO₂-CaO-Al₂O₃-B₂O₃ 系では液相側境膜での Al₂O₃ の
 拡散律速, SiO₂-CaO-Al₂O₃-10% Na₂O-20% Fluoride 系で
 は界面反応との混合律速を推定した。本実験では, CaO-SiO₂-Al₂O₃
 系で $\text{CaO/SiO}_2 = 0.87$ および CaO-SiO₂-Al₂O₃-15% NaF 系で
 $\text{CaO/SiO}_2 \leq 1.1$ では, 1) j_i vs. \sqrt{W} が原点を通る直線で Levich の関
 係を満たし, 2) 界面液相側の Al₂O₃ 分布が図 11 のように濃度境界層の存
 在を示し, 3) K の見かけの活性化エネルギーが拡散のそれに近いこと, か
 ら液相側境膜中の Al₂O₃ の拡散が溶解速度を律していると考えられる。

図 7 の $\text{CaO}/\text{SiO}_2 = 0.87$, $\text{Al}_2\text{O}_3 = 8\%$ 系で Levich の式が成立つと, Al_2O_3 の拡散定数 D は

$$D = 1.611 j_i^{3/2} \delta^{-1/4} \eta^{1/4} W^{-3/4} (C_i - C_\infty)^{-3/2} \dots \quad (9)$$

となる。 $\rho = 2.55$, $C_i = 1.07$, $C_\infty = 0.20 \text{ g/cm}^3$, $\eta = 8.6 \text{ poise}$ および W と j_i の実験結果を代入すれば、 $D = 5.1 \sim 5.7 \times 10^{-7} \text{ cm/sec}$ となり、Henderson ら⁶⁾ が 38.6% CaO - 41.3% SiO₂ - 20% Al₂O₃ 系で求めた Al の自己拡散定数の 1500℃への外挿値 6.8×10^{-7} とほぼ一致する。

静止円柱法では溶融フラックス相に流動があり、その結果生ずる境膜中での Al_2O_3 の物質移動を律速段階と考え、境膜厚を δ 、界面のアルミナ濃度を C_i 、バルク濃度を C_∞ 、円柱の濃度を C_s とすれば、界面の移動速度 K は

$$K = D/\delta \cdot \ln \{ 1 + (c_i - c_\infty) / (c_s - c_i) \} \dots \dots \dots (10)$$

で与えられる。⁷⁾ $C_S = 3.99 \text{ g/cm}^3$ とし, $\text{CaO/SiO}_2 = 0.87$, $\text{Al}_2\text{O}_3 = 7\%$ 系の D として(9)式から得られた平均値 $5.4 \times 10^{-7} \text{ cm/sec}$, δ として静止円柱の EPMA による濃度分布から求めた 300μ を代入すれば, $K_{\text{calc.}} = 0.47 \times 10^{-5} \text{ cm/sec}$ となり実験値 0.52×10^{-5} と良く一致する。 $\text{CaO/SiO}_2 = 0.87$, $\text{Al}_2\text{O}_3 = 8\%$, $\text{NaF} = 15\%$ 系でも同様に計算すると, $D = 1.9 \times 10^{-6}$, $K_{\text{calc.}} = 2.5 \times 10^{-5}$ であり K の実験値 $1.9 \times$

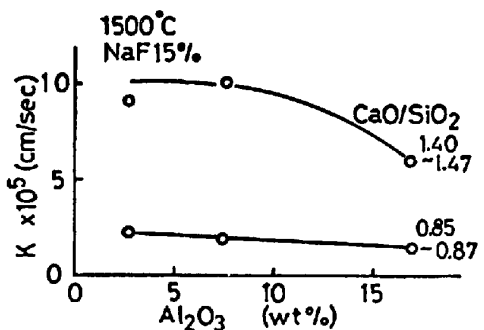


図7 K値に及ぼす Al_2O_3 濃度の影響

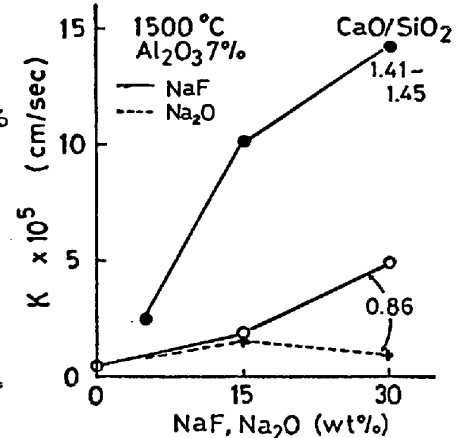


図8 K値とNaF, Na₂O濃度

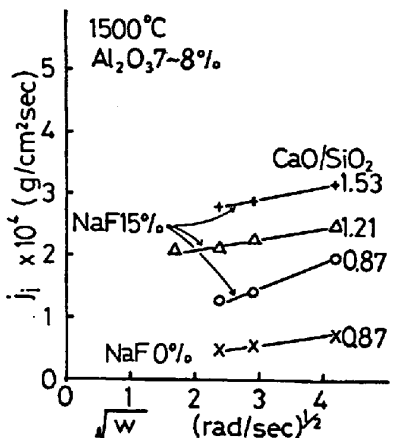


図9 サファイヤ回転ディスクの溶解速度

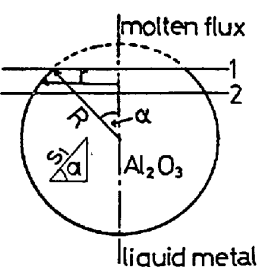


図 10 Al_2O_3 粒の
移行モデル

すなわち、これらの組成では液相側境膜での Al_2O_3 の定常拡散が溶解の律速段階である。

一方、 $\text{CaO}-\text{SiO}_2-\text{Al}_2\text{O}_3-15\% \text{NaF}$ 系で $\text{CaO}/\text{SiO}_2 \geq 1.2$ では、1) j_i vs. \sqrt{W} は原点を通らず、2) 界面液相側の Al_2O_3 分布は図 11 のように界面から母相にかけてほぼ一様であること、から溶解反応律速と考えられる。 $\text{CaO}/\text{SiO}_2 \geq 1.2$ で溶解速度が著しく変わるのは、アルミナの溶解速度は溶解反応と引続く拡散によつてきまり、 Al_2O_3 の拡散の遅い低塩基度組成では後者、拡散のはやい弱塩基度組成では前者が律速段階となるためであろう。 Al_2O_3 は network former でその拡散は粘度と逆比例していると考えると、 $\text{CaO}/\text{SiO}_2 = 0.87$, $\text{Al}_2\text{O}_3 = 8\%$, $\text{NaF} = 15\%$ での実測値が 2.0 poise と高いのに、 $\text{CaO}/\text{SiO}_2 = 1.53$, $\text{Al}_2\text{O}_3 = 8\%$, $\text{NaF} = 15\%$ で 0.52 と激減することは、上記推察を裏付けている。

4-3. 薄鋼板スラブ用連鉄フラックスの組成

従来の連鉄フラックスは、ほとんどが $\text{CaO}-\text{SiO}_2-\text{Al}_2\text{O}_3$ 3成分系状態図で CaO/SiO_2 比の小さい pseudo-wollastonite の領域にあり、フラックスの溶融速度、粘度などを調節することにより厚板向スラブの縦割れを含む表面欠陥を低減できることはすでに報告したが、^{8), 9)} 縦割れが問題にならぬ薄鋼板用スラブの連鉄では、アルミナ溶解速度の点から、より CaO/SiO_2 比の高い rankinite か di-calcium silicate の領域にフラックス原組成を選ぶのが好ましいことがわかる。 Al_2O_3 濃度が低いとフラックスのガラス化、均一溶融性に問題があり、高すぎるとアルミナの溶解速度が低下するのみならず、 gehlenite, anorthite などの晶出が懸念される。したがつて、鋳型内に用いる場合には、厚板向スラブ用のフラックスと同様、原組成中の Al_2O_3 を適切な範囲に取り、かつ富化しすぎないよう添加量を調節することが重要であり、 NaF は 6 %以上、ガラス化の点から 30 %以下とするのが望ましい。

5. 結言

薄鋼板用 Al キルド鋼の連鉄における適切なフラックス組成を見出すために、アルミナの溶融フラックスへの溶解過程について考察した。溶鋼-溶融フラックス界面でのアルミナは、溶融フラックス中へ移ることが確認され、このアルミナの溶解速度は溶融フラックスの CaO/SiO_2 比、 NaF 濃度の増加とともに大きくなる。特に CaO/SiO_2 比については興味深い挙動を示し、 $\text{CaO}/\text{SiO}_2 = 1.1$ を越えると、急激に溶解速度が増大する。これは、溶解の律速段階が物質移動から化学反応に移行することによる。

6. 参考文献

- 1) N. E. Dorsey ; J. Washington Acad. Sci., 18(1928), P. 505
- 2) 江島ら ; Trans. Farad. Soc., 66(1970), 565, P. 99
- 3) D. Ya. Povolotskii et al ; Steel in USSR Decem., (1971), P. 952
- 4) A. R. Cooper, Jr., et al ; J. Amer. Ceram. Soc., 47(1964), 1, P. 37
47(1964), 5, P. 250 48(1965), 2, P. 88
- 5) 荒木ら ; 鉄と鋼 58(1972), 11, S370
- 6) J. Henderson et al ; Trans. Met. Soc., AIME 221(1961), P. 56
- 7) J. M. Lommel et al ; Trans. Met. Soc., AIME 215(1959), P. 499
- 8) 中戸ら ; 鉄と鋼 59(1973), 4, S94
- 9) 江見ら ; 鉄と鋼 59(1973), 4, S95

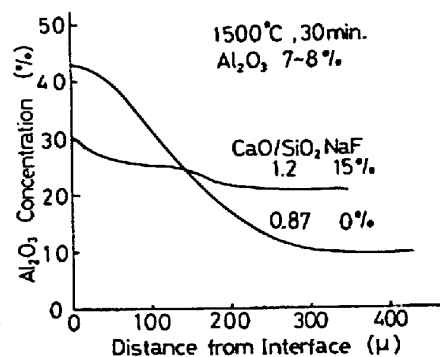


図 11. 静止円柱法の界面のフラックス相内における Al_2O_3 の濃度分布